

저손실, 고투자율을 갖는 Ni-Zn-Cu ferrite의 자기적 특성 연구

김용복 · 고재귀

숭실대학교 물리학과

서울시 동작구 상도 5동 1-1

(1998년 2월 6일 받음, 1998년 4월 10일 최종수정본 받음)

본 논문은 자기적 특성이 우수한 Ni-Zn-Cu ferrite를 얻기 위해 Bi_2O_3 와 V_2O_5 를 첨가하여 900 °C에서 4시간 동안 소결한 후 각각의 시편에 대해서 물리적, 자기적 특성을 조사하였다. 큐리 온도는 Ni의 첨가량이 증가할수록 240~270 °C 까지 거의 직선적으로 증가하였다. 첨가제로 V_2O_5 와 Bi_2O_3 를 사용한 경우 저온에서 소결을 가능하게 하여 최대 자속 밀도 B_m 을 2650 G에서 각각 3300 G, 3500 G로 높일 수 있었으며 보자력은 2.05~1.05 Oe 까지 감소하였다. 첨가제로 V_2O_5 와 Bi_2O_3 를 사용한 경우 모두 투자율이 증가하였다. 상대 손실 계수는 Bi_2O_3 를 첨가한 경우 입계의 비저항을 높여, 1 MHz의 주파수 대역에서 상대 손실 계수를 측정한 결과 6.3×10^{-5} ~ 7.84×10^{-5} 의 낮은 값을 얻었다. V_2O_5 의 경우에는 투자율은 증가하였으나 Q 값이 감소하여 상대 손실 계수가 증가하였다.

I. 서 론

Spinel structure를 가지는 ferrite 중에서 대표적인 것으로 Ni-Zn계 ferrite와 Mn-Zn계 ferrite를 들 수 있는데, 저주파 대역에서 좋은 특성을 나타내는 Mn-Zn 계 ferrite에 비하여 Ni-Zn계 ferrite는 투자율은 낮으나 비저항이 높아 전기적 손실이 작고 온도 특성이 양호하여 radio, TV 등의 고주파용 코어에 많이 이용되어 왔다[1-3]. 특히 최근에는 표면 실장 기술(SMT : Surface Mounting Technology)의 진보와 함께 소형화, 경량화, 고밀도화가 더욱 가속화되고 있으며, SMT를 폐라이트에 응용하기 위해서는 먼저 내부 전극 재료로 쓰이는 Ag의 용융 온도인 960 °C 보다 낮은 온도에서 소결해야 한다. 이를 위해 미량의 Cu를 첨가할 경우 CuFe_2O_4 의 액상을 형성하여 소결 거동이 좋아지며, Ni-Zn 폐라이트에 Cu^{2+} 의 치환은 자기적 특성을 저하시키지 않고 저온 소결(低温 燃結)을 가능케 한다[4]. 그러나 Cu의 함량이 증가하면 확산을 촉진시켜 NiCuZn 폐라이트의 소결 밀도가 증가하지만, 전기 비저항은 감소하여 손실이 증가하기 때문에 최적 CuO의 함량은 약 10 mol %를 넘지 않아야 한다[5]. 이러한 표면 실장 기술을 응용하여 LC filter, LCD inverter 와 chip inductor 등에 널리 이용되고 있다[6, 7]. 본 연구는 앞선 연구자들[5, 8, 9]의 연구 결과를 참조하여 최대 자속 밀도(B_m) 값과 큐리 온도(T_c)가 높고 손실이 작은 저온 소결한 Ni-Zn계 fer-

rite를 얻기 위해 기본조성을 $(\text{Ni}_{0.35}\text{Cu}_{0.02}\text{Zn}_{0.45}\text{O})_{1.02}$ (Fe_2O_3)_{0.98} 으로 하고 첨가제로 Bi_2O_3 와 V_2O_5 를 사용하여 조성의 변화 및 주파수 변화에 따른 자기적 특성을 조사하였다.

II. 시편 제조

출발 원료로 Fe_2O_3 (pure), NiO (extra pure), CuO (extra pure), Bi_2O_3 (extra pure), V_2O_5 (extra pure), ZnO (extra pure)를 사용하여 시편을 제작하였다. 측량은 1/1000 g의 정확도로 하였으며, 원료:methyl alcohol:steel ball = 1:1.5:4의 무게비로 혼합하여 12시간 동안 습식 혼합 분쇄하였다. 가소는 ball milling을 끝내고 건조된 시료를 분쇄하여 200 mesh sieve (75 μm)를 통과시킨 다음 이 분말을 알루미나 도가니에 넣어 square furnace에서 800 °C로 2시간 동안 유지한 후 노령하였다. 가소된 시료를 습식 ball milling 방법을 사용하여 12시간 동안 분쇄하고 초미쇄분쇄기에서 600 rpm으로 30분 동안 각각 분쇄하였다. 건조기에서 건조한 후 시료에 결합제로 3 wt %의 PVA(polyvinyl alcohol)를 사용하여 고르게 분사하고 70 mesh sieve (0.21 mm)를 사용하여 미분말을 제조하였고 윤활제로써 스테아린 산(stearic acid)을 넣고 외경 27 mm, 내경 15 mm인 toroid 형과 직경 15 mm인 pellet 형 금형을 사용하여 toroid 형에는 6 g, pellet 형에는 2 g의 시료를 충전하고, press를 사용하

여 1 t/cm^2 의 압력으로 성형하였다. 소결 과정은 상온에서 400°C 까지 $2.5^\circ\text{C}/\text{min}$ 로 승온시키고 400°C 에서 1시간 유지한 후, 400°C 에서 900°C 까지 $2.5^\circ\text{C}/\text{min}$ 로 다시 승온시키고, 900°C 에서 4시간 유지한 후 400°C 까지 $2.5^\circ\text{C}/\text{min}$ 의 속도로 냉각시킨 다음 공기 중에서 노냉 하였다.

III. 실험결과 및 고찰

Fig. 1은 각 시편에 대하여 Archimedean법으로 측정한 밀도를 나타낸 것으로 V_2O_5 , Bi_2O_3 등의 첨가는 소결시 액상을 형성시켜 페라이트 성분의 물질 이동을 촉진하여 소결 온도를 낮추고 치밀화가 가속되어[4, 10] 순수 조성($x=0$)인 경우 밀도가 4.90 g/cm^3 정도였으나 Bi_2O_3 를 첨가한 경우 $x=0.005$ 에서 5.09 g/cm^3 로 증가하였고 Bi_2O_3 를 더 첨가한 경우 입자의 크기가 점점 감소하여 밀도가 조금 감소하는 경향을 보이며 V_2O_5 의 경우에는 첨가량이 증가할수록 입자의 성장을 촉진시켜 밀도가 계속 증가하여 $x=0.015$ 에서 5.15 g/cm^3 의 값을 얻을 수 있었다.

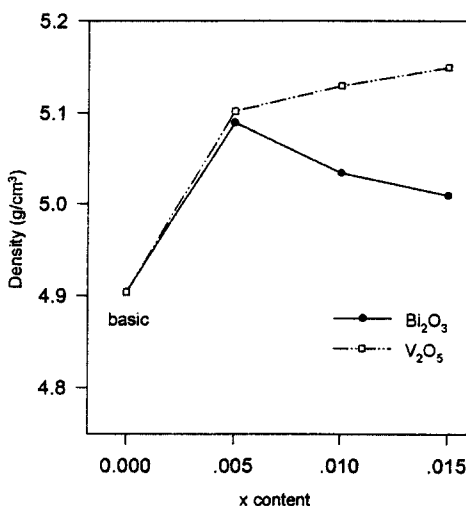


Fig. 1. Density as a function of x content of the additive V_2O_5 in composition $(\text{Ni}_{0.35-x}\text{Cu}_{0.2}\text{V}_x\text{Zn}_{0.45}\text{O})_{1.02}(\text{Fe}_2\text{O}_3)_{0.98}$ and Bi_2O_3 in composition $(\text{Ni}_{0.35-x}\text{Cu}_{0.2}\text{B}_{\text{i}x}\text{Zn}_{0.45}\text{O})_{1.02}(\text{Fe}_2\text{O}_3)_{0.98}$.

Fig. 2는 큐리 온도(T_c)의 변화를 측정한 것으로 V_2O_5 를 첨가한 경우 $255\sim265^\circ\text{C}$, Bi_2O_3 를 첨가한 경우

에는 $240\sim262^\circ\text{C}$ 의 T_c 를 얻었다. 일반적으로 A site와 B site 간의 상호작용이 증가할수록 큐리 온도는 증가한다고 알려져 있는데[11], 본 실험에서도 결정 구조 내에 비자성 이온인 Zn^{2+} 의 상대적인 증가에 따라 spinel 구조 내의 A 위치(tetrahedral site)와 B 위치(octahedral site)사이의 exchange interaction이 감소하여 T_c 가 감소된 것으로 생각된다.

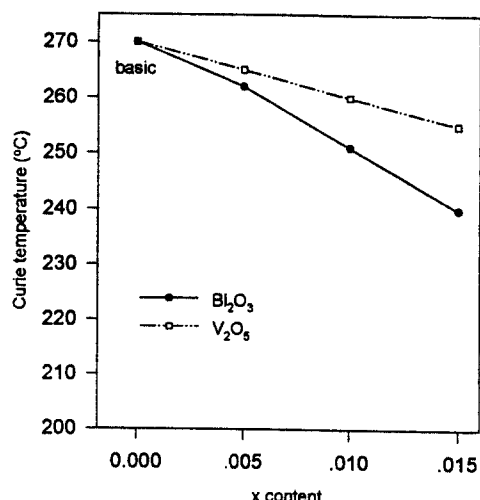
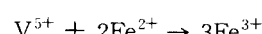


Fig. 2. Curie temperature as a function of x content of the additive V_2O_5 in composition $(\text{Ni}_{0.35-x}\text{Cu}_{0.2}\text{V}_x\text{Zn}_{0.45}\text{O})_{1.02}(\text{Fe}_2\text{O}_3)_{0.98}$ and Bi_2O_3 in composition $(\text{Ni}_{0.35-x}\text{Cu}_{0.2}\text{B}_{\text{i}x}\text{Zn}_{0.45}\text{O})_{1.02}(\text{Fe}_2\text{O}_3)_{0.98}$.

Fig. 3은 V_2O_5 와 Bi_2O_3 의 첨가량에 따른 최대 자속 밀도와 보자력의 변화를 나타낸 것으로 순수 조성($x=0$)인 경우에 최대 자속 밀도 B_m 값은 2650 G 정도였으며, V_2O_5 와 Bi_2O_3 를 미량 첨가하였을 경우 $x=0.005$ 에서 각각 3300 G , 3500 G 의 최대 자속 밀도 값을 얻을 수가 있었다. 이는 Bi_2O_3 의 경우 용융점이 820°C 이므로 소결시에 액상을 형성하여 확산을 촉진시키고 입자 성장 활성화 에너지를 감소시켜 빠른 밀도화가 일어났기 때문으로 생각되며[12, 13], 또한 V_2O_5 의 경우는 용융점이 690°C 이므로 미량의 첨가물이 소결 중 액상을 형성하여 소결을 촉진시키고, V^{5+} 는 Ni-Zn 페라이트에 용해되어 아래와 같은 반응이 일어나게 되어



이 반응으로 증가된 이온 결합(3Fe^{3+})이 체적 확산을 촉진시켜 빠른 밀도화가 일어나게 되므로 소결 촉진 효과를 나타나게 되어 내부의 기공율이 감소하기 때문에 B_m 이 증가한 것으로 생각된다[13]. $x=0.005$ 이상에서 B_m 값이 감소하는 것은 Ni/Zn비의 상대적인 감소로 인하여 다량의 Zn^{2+} 이 A site에 치환 됨으로써 A site와 B site 사이의 exchange interaction이 감소하게 되어 B_m 값이 감소하는 것으로 생각된다. 보자력은 Bi_2O_3 와 V_2O_5 를 첨가한 경우 저온에서 소결을 가능하게 하여 입자의 성장이 촉진되어 입자의 크기가 커지고 이에 따라 spin의 이동을 방해하는 자벽과 기공 등이 감소하여[14-16] 이로 인해 보자력이 순수 조성($x=0$)인 경우 4.5 Oe 정도였으나 Bi_2O_3 와 V_2O_5 를 첨가한 경우 2.05~1.05 Oe 까지 크게 감소하였다.

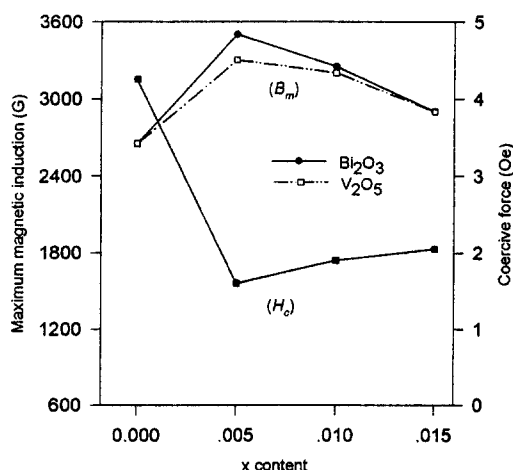


Fig. 3. Magnetic properties as a function of x content of the additive V_2O_5 in composition $(\text{Ni}_{0.35-x}\text{Cu}_{0.2}\text{V}_x\text{Zn}_{0.45}\text{O})_{1.02}$ $(\text{Fe}_2\text{O}_3)_{0.98}$ and Bi_2O_3 in composition $(\text{Ni}_{0.35-x}\text{Cu}_{0.2}\text{Bi}_x\text{Zn}_{0.45}\text{O})_{1.02}$ $(\text{Fe}_2\text{O}_3)_{0.98}$.

Fig. 4와 Fig. 5는 Bi_2O_3 와 V_2O_5 의 첨가량에 따른 각 주파수 대역에서의 초투자율을 나타낸 그림으로 순수 조성($x=0$)에서 소결한 시편의 경우 초투자율이 63~66 이었으나 Bi_2O_3 와 V_2O_5 를 첨가한 경우 초투자율을 증가시킬 수 있었으며 첨가량이 증가할수록 초투자율도 증가하는 경향을 보였다. 일반적으로 Fe_2O_3 의 mol 함량이 50 % 보다 적은, 즉 전형적인 철결핍 미세구조는 입계에 공공들을 포함하고 있는데 Bi_2O_3 와 V_2O_5 의 첨가는 소결시에 액상을 형성하여 소결을 촉진시키고 입계에 편석하여 입계의 공공을 제거하는 데에 기인하여 초투자율이

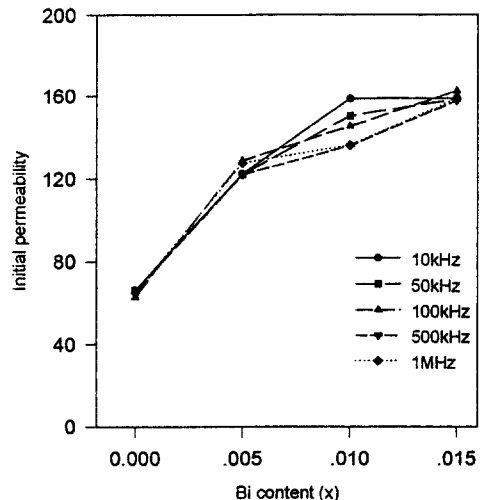


Fig. 4. Initial permeability as a function of Bi content in composition $(\text{Ni}_{0.35-x}\text{Cu}_{0.2}\text{V}_x\text{Zn}_{0.45}\text{O})_{1.02}$ $(\text{Fe}_2\text{O}_3)_{0.98}$.

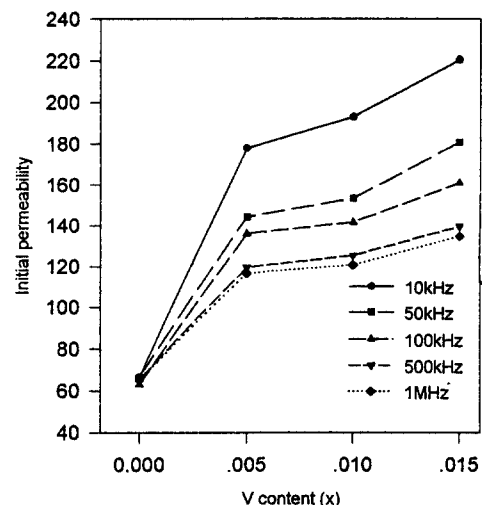


Fig. 5. Initial permeability as a function of V content in composition $(\text{Ni}_{0.35-x}\text{Cu}_{0.2}\text{V}_x\text{Zn}_{0.45}\text{O})_{1.02}$ $(\text{Fe}_2\text{O}_3)_{0.98}$.

증가한 것으로 판단된다.

Fig. 6과 Fig. 7은 Bi_2O_3 와 V_2O_5 의 첨가량에 따른 10 kHz~1 MHz의 주파수 대역에서 상대 손실 계수를 나타낸 것이다. 상대 손실 계수($\frac{\tan \delta}{\mu_i}$)는 페라이트의 특성 가운데 손실을 판정할 수 있는 기준이 되며, 일반적으로 페라이트에서 입자 크기(grain size)가 커질수록 비

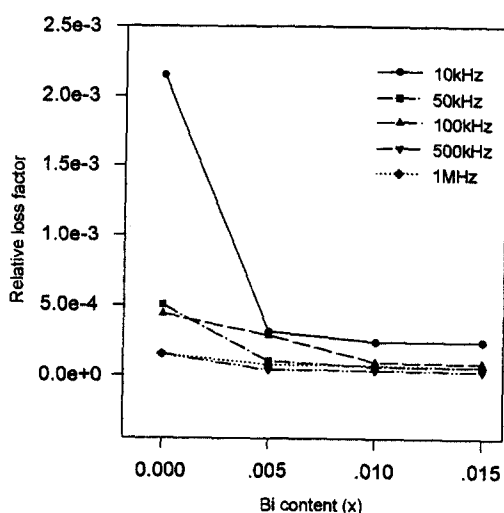


Fig. 6. Relative loss factor as a function of Bi content in composition $(\text{Ni}_{0.35-x}\text{Cu}_{0.2}\text{Bi}_x\text{Zn}_{0.45}\text{O})_{1.02}(\text{Fe}_2\text{O}_3)_{0.98}$.

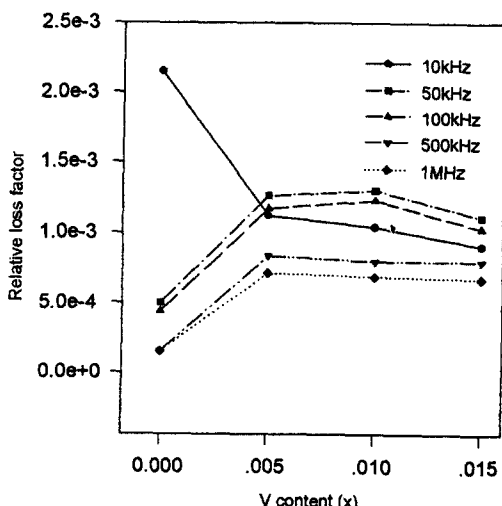


Fig. 7. Relative loss factor as a function of V content in composition $(\text{Ni}_{0.35-x}\text{Cu}_{0.2}\text{V}_x\text{Zn}_{0.45}\text{O})_{1.02}(\text{Fe}_2\text{O}_3)_{0.98}$.

저항이 감소하기 때문에 Q 값이 감소한다[17]. 따라서 투자율과 Q 값은 반비례의 관계가 있으므로 실용 페라이트의 제조시에는 투자율과 Q 값의 특성이 개선될 수 있는 최적의 조성을 고려하여 제조한다. 순수 조성($x=0$)인 경우 10 kHz~1 MHz의 주파수 대역에서 $2.2 \times 10^{-3} \sim 1.5 \times 10^{-4}$ 의 손실을 얻었다. Bi_2O_3 를 첨가한 경우 모

든 주파수 대역에서 순수 조성의 시편보다 낮은 손실을 얻을 수 있었으며 1 MHz에서 $6.3 \times 10^{-5} \sim 7.8 \times 10^{-5}$ 의 손실값을 얻었다. 이는 Bi 가 입계(grain boundary)에 편석하여 입계를 고저항화 시켜 Q 값을 높이기 때문으로 생각된다. V_2O_5 의 경우에는 순수 조성($x=0$)에서의 시편보다 높은 손실을 얻었다. 이는 Bi_2O_3 의 첨가와 마찬가지로 초투자율은 증가하였으나 입자의 성장으로 비저항의 감소하고 따라서 Q 값이 감소하여 상대 손실 계수가 증가한 것으로 생각된다.

IV. 결 론

본 연구는 저온에서 소결한 시편에 대해 저손실, 고투자율과 최대 자속 밀도(B_m) 및 큐리 온도(T_c)가 높은 Ni-Zn-Cu계 ferrite를 얻기 위한 실험으로 다음과 같은 결론을 얻었다.

- 첨가제로 Bi_2O_3 와 V_2O_5 를 사용한 경우 저온에서 소결을 가능하게 하고 첨가물이 입계에 편석하여 공공을 제거하고 치밀화(緻密化)가 촉진되어 순수 조성에서보다 밀도가 상승하였고 큐리 온도는 240~270 °C 를 얻을 수 있었다.
- 첨가제로 V_2O_5 와 Bi_2O_3 를 사용한 경우 저온에서 소결을 가능하게 하여 최대 자속 밀도 값을 2650 G에서 각각 3300 G, 3500 G로 높일 수 있으며 보자력은 2.05~1.05 Oe까지 감소하였다.
- 첨가제로 Bi_2O_3 와 V_2O_5 를 사용한 경우 모두 투자율이 증가하였다. 상대 손실 계수는 Bi_2O_3 를 첨가한 경우 입계의 비저항을 높여 1 MHz의 주파수 대역에서 상대 손실 계수를 측정한 결과 $6.3 \times 10^{-5} \sim 7.84 \times 10^{-5}$ 의 낮은 값을 얻었다. V_2O_5 의 경우에는 투자율은 증가하였으나 입자의 성장으로 인하여 비저항이 감소하여 Q 값이 감소하므로 상대 손실 계수가 증가하였다.

위와 같은 결과로 저온에서 소결한 Ni-Zn-Cu ferrite 시편에 대해 높은 최대 자속 밀도 값과 큐리 온도를 얻을 수 있었으며 앞으로는 투자율과 상대 손실 계수 등의 자기적 특성을 더욱 더 향상시키는 연구가 지속적으로 이루어져야 한다고 생각한다.

참 고 문 헌

- [1] W. R. Buessen, understanding ferrite, Cer.

- Bull., **63(4)**, 582(1984).
- [2] A. Ono, T. Maruno, N. Kaihara, Ferrites proceedings ICF-6, 1206(1992).
- [3] 고재귀, 송재만, 자성물리학의 기초와 응용, 숭실 대학교 출판부 (1997) pp. 194.
- [4] Okutani, et al., Ferrite, Electronic material series, Japan (1988) pp. 67-69.
- [5] J. H. Nam, H. H. Jung, J. Y. Shin, J. H. Oh, Proceedings of The 3rd International Symposium on Physics of Magnetic Materials, 436 (1995).
- [6] I. G. Sarda, W. H. Payne, Cer. Bull., **67(4)**, 737(1988).
- [7] T. Nomura, A. Nakano, Ferrites proceedings ICF-6, 1197(1992).
- [8] J. Hsu, et al., IEEE Trans. Mag., **MAG-30(6)**, 4875(1995).
- [9] J. Hsu, et al., IEEE Trans. Mag., **MAG-31(6)**, 3994(1995).
- [10] M. F. Yan, D. W. Johnson JR, J. Ame. Cer. Soc., **61(6-7)**, 342-349(1978).
- [11] J. Smit, H. P. J. Wijn, ferrites, Philips Tech. Lab. (1959) pp. 155-160.
- [12] R. Narayan et al., J. Mat. Sci. **18**, 1583(1985).
- [13] J. Kulikowski et al., J. Mag. Mag. Mater., **26 (1-3)**, 256(1982).
- [14] E. A. Schwave, D. A. Cambell, J. Appl. Phys. **34**, 1251(1963).
- [15] H. Igarashi, K. Okazaki, J. Ame. Cer. Soc., **60**, 51(1977).
- [16] T. Inui, N. Ogasawara, IEEE Trans. Mag., **MAG-13(6)**, 1729(1977).
- [17] J. G. M. de Lau, Philips Res. Suppl., **6**, 6 (1975).

Studies of Magnetic Properties of Ni-Zn-Cu Ferrite with Low Loss and High Permeability

Yong Bok Kim and Jae Gui Koh

Department of Physics, Soongsil University,

Seoul, 156-743, Korea

(Received 6 February 1998, in final form 10 April 1998)

We have studied on the magnetic properties of the specimen with additives Bi_2O_3 and V_2O_5 that sintered at 900 °C for 4 hours for synthesizing optimal Ni-Zn-Cu ferrite. Curie temperature rises from 240 °C to 270 °C as Ni contents increase. Magnetic maximum induction (B_m) increases from 2650 G to 3300 G, 3500 G in the specimens with V_2O_5 and Bi_2O_3 respectively. On the contrary coercive force (H_c) lowers to 2.05 Oe ~ 1.05 Oe. Permeability all increase in the specimen with additives. In the specimen with additive Bi_2O_3 , we have obtained the low relative loss factor of $6.3 \times 10^{-5} \sim 7.84 \times 10^{-5}$ in the range of 1 MHz due to increase of resistivity in grain boundary. In the specimen with additive V_2O_5 in spite of increase of permeability relative loss factor increase due to decrease of Q-value.